

III-41 せん断試験中の応力～ひすみ関係について

神戸大学工学部 正員 ○輕部大蔵
神戸大学大学院 学生員 王井達郎

せん断試験中の応力～ひすみ関係は、多くの研究者によって式示されてい。Roscoeらは、供試体の力学的な仕事が

$$dE = dW + dU \quad (\text{ただし } dE \text{ は加えられた仕事 } dW \text{ は内部で失なされた仕事 } dU \text{ は内部に蓄積される仕事}) \quad (1)$$

を満足しているとして、三軸圧縮状態にある正規圧密（あるいはそれに近い）粘土の応力～ひすみ関係を導いた。彼らの考え方の特徴の一つは、正規面体応力を標準としていることであるが、この当否については、圧縮試験だけからではわからぬ。

この報告は、筆者らが ①主ひすみ増分比を制御することにより、異方応力比の大きい圧密（あるいは排水せん断）をおこなった結果の検討、②タイレイターンシー現象に対する後述の仮定をもうけた上で、③粒子間の摩擦現象をもととしたエネルギー式を導き、これに若干の検討を加えた結果を述べている。

I. 異方圧密試験の結果 試験方法についてはすでに報告したが、大略つぎのようである。大阪港付近のちゆう積層から採取した乱さない粘土を 1.5 kg/cm^2 の等方圧力を準備圧密し、統一応力を $\sigma_m = (\sigma_a + \sigma_r)/3 = 3 \text{ kg/cm}^2$ に上昇させて、このために発生する圧密圧縮ひすみ $\Delta\varepsilon_a$ （長軸方向）、 $\Delta\varepsilon_r$ （半径方向）の比をつねに一定に保つよう応力を調節した。ひすみ比の値は図-1に示されているように広範に選ばれている。異方圧密開始後1000分の主ひすみ差と、45°面上の (ε/σ) の関係は図-2に示すようである。供試体7, 8, 9, 12はせん断状態にあることがわかる。

（なお、12が大きな $(\varepsilon/\sigma)_{45^\circ}$ を示しているが、 $(\varepsilon/\sigma)_{oct}$ で示すと9, 7, 8よりずっと小さい値となる。）

図-3は、Roweにならって、500～1000分の間の平均ひすみ増分と主応力比の関係を求めたものである。（ dU は伸長ひすみ増分）。図中の直線 l_1 （想像である）と l_2 の向は、Roweの理論範囲を示しているが、実験値は全く一致していない。これはRoweの理論では一次元圧縮より等方寄りの変形は考えられないからであろう。

一方、Roscoe²⁾によれば、

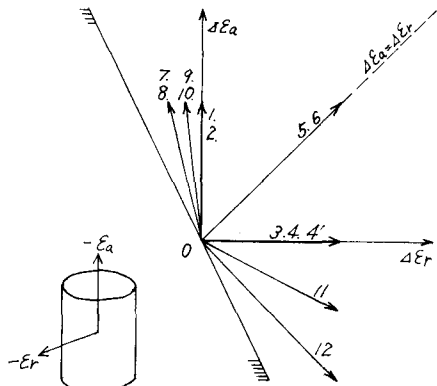


図-1 実験条件(数字は試験No.)

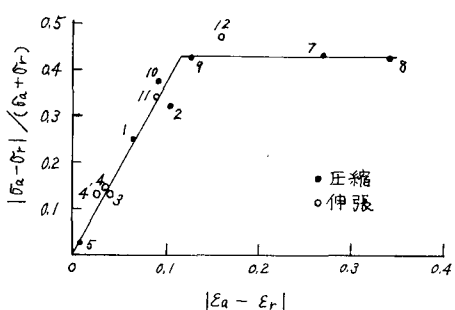


図-2 1000分後の状況

$$\frac{g}{P} = \frac{\kappa}{1+\epsilon} \frac{\delta P}{\delta \epsilon} + M - \frac{\delta U}{\delta \epsilon} \quad (2)$$

筆者らの試験では、一次圧密は100~200分で終了しているようであるので $\delta P=0$ とおくと

$$\frac{g}{P} = M - \frac{\delta U}{\delta \epsilon} \quad (2)'$$

ただし $g = (\sigma_1 - \sigma_3)$

$$P = \sigma_m$$

$$\delta U = \delta \epsilon_a + 2\delta \epsilon_f$$

$$\delta \epsilon = \frac{2}{3}(\delta \epsilon_a - \delta \epsilon_f)$$

$$\kappa = C_s$$

$$M = (g/P)_{\max}$$

(2)' 式は図-4中の破線で示されている。各試体の500~1000分の圧密測定値の出現範囲は、図に示すように(2)'式とかけはなれていふ。

δP を求めるために、 $\delta P = \delta U/m_0$ を考えると、向げて

比較大きく変化しない範囲で

$$m_0 = \lambda \cdot \frac{0.434}{P} \frac{1}{1+\epsilon} \quad (\text{ただし } \lambda = C_c) \\ \text{が成立するから、こより}$$

$$(2) \text{ 式に代入すると } \frac{g}{P} = M + \left(\frac{2.3\lambda}{\lambda} - 1 \right) \frac{\delta U}{\delta \epsilon} \quad (3)$$

(3)式に等方圧密試験から求めた $\lambda = 0.43$, $\kappa = 0.12$ を入れると、図中の実線のようになり、 $P/g \geq 0.7$ の範囲で実験値と一致する。しかし、これがK-Fの P/g に対するのは少しに実験値とかけはなれていく。

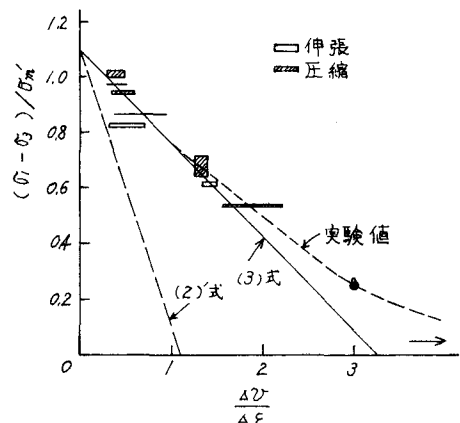
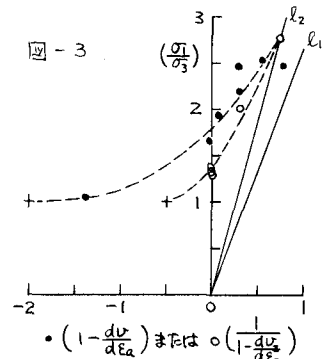


図-4

II タイレイタシードに対する仮定

京都大学の松岡氏はMobilized面に着目して成果をあげておられるが、ここでは一応それと独立して中間主応力 σ_2 方向に平行で最大主応力面に対してのみ傾いた土の要素を考える。この要素の、右図のようせん断ひずみを γ_3 、厚さ方向の圧縮ひずみを ϵ_N であらわすとき、次式が成立すると仮定する。

$$d\epsilon_N = \frac{1}{E} \{ d\sigma_N - v(d\sigma_1 + d\sigma_3) \} + \left(\frac{df(r)}{dr} \right)_{r_3} dr \quad (4)$$

ここで、 $f(r)$ は、累加ひずみ r の関数であり、 v はポアソン比、 E は弾性係数である。(4)式を、主ひずみ増分と主応力方向が一致するという仮定のもとに、それを中の主成分であらわすと

$$(1 + \cos 2\alpha) d\epsilon_1 + (1 - \cos 2\alpha) d\epsilon_3 = \frac{1}{E} \{ (1-v)(d\sigma_1 + d\sigma_3) + (1+v) \cos 2\alpha (d\sigma_1 - d\sigma_3) - 2v d\sigma_2 \} + 2 \left(\frac{df(r)}{dr} \right)_{r_3} dr \quad (5)$$

が得られる。また、 $d\epsilon_1 - d\epsilon_3 = (d\epsilon_1 - d\epsilon_2) + (d\epsilon_2 - d\epsilon_3)$ より

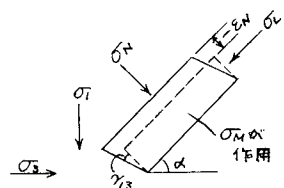
$$d\epsilon_2 = \frac{1}{E} \{ d\sigma_2 - v(d\sigma_1 + d\sigma_3) \} + \left(\frac{df(r)}{dr} \right)_{r_2} dr + \left(\frac{df(r)}{dr} \right)_{r_2} dr - \left(\frac{df(r)}{dr} \right)_{r_3} dr \quad (6)$$

三軸圧縮状態を考えると、 $d\epsilon_2 = d\epsilon_3$ であるから(6)式より

$$d\epsilon_3 = \frac{1}{E} \{ d\sigma_3 - v(d\sigma_1 + d\sigma_3) \} \quad (7)$$

(7)式を(5)式に代入すると。

$$d\epsilon_1 = \frac{1}{E} (d\sigma_1 - 2v d\sigma_3) + \frac{2}{1 + \cos 2\alpha} \left(\frac{df(r)}{dr} \right)_{r_3} dr \quad (8)$$



三軸伸張状態 ($d\varepsilon_1 = d\varepsilon_2 > d\varepsilon_3$) も同様にして

$$d\varepsilon_1 = \frac{1}{E} \{ d\sigma_1 - v(d\sigma_1 + d\sigma_3) \} \quad (9)$$

$$d\varepsilon_3 = \frac{1}{E} (d\sigma_3 - 2vd\sigma_1) + \frac{2}{1-\cos 2\alpha} \left(\frac{d\varepsilon(r)}{dr} \right)_{r_3} dr \quad (10)$$

(7) (9) 式によれば半径方向のひずみ ε_r はダイレイタンシーの影響を受けないことにまる。

図-5 は、飽和した豊浦標準砂の排水三軸試験中の応力経路を示している³⁾。この試験結果から、(7) (9) 式を用いて、同じ初期条件の供試体の E および v を求めると、図-6 に示すように、適当に v を仮定して、圧縮試験と伸張試験が (7) (9) 式を満足するようにしてやればよい。図-6 によれば $v=0.24$ では、図のプロットを滑らかに結ぶ曲線のこう配を 100 倍したものとしてよいであろう。ただし、伸張試験の場合、応力～ひずみ曲線のピークが早くあらわれすぎているようである。

III エネルギー式（三軸圧縮の場合）

(11) 式の各項をつぎのように与える

$$\begin{aligned} dE &= \sigma_1 d\varepsilon_1 + 2\sigma_3 d\varepsilon_3 \\ dU &= \sigma_1 d(\varepsilon_1)_s + 2\sigma_3 d(\varepsilon_3)_s \\ dW &= \left\{ \mu(\sigma_1 + \sigma_3) + 2C \right\} \frac{d\varepsilon_1 - d\varepsilon_3}{2} \end{aligned} \quad \left. \right\} \quad (11)$$

(11) 式中の $d\varepsilon_1, d\varepsilon_3$ は (7) (8) 式を用いる。また $(\varepsilon_i)_s$ 等は応力減少による回復ひずみであり、ダイレイタンシーは逆もどりしないと考えて

$$d(\varepsilon_i)_s = -\frac{1}{E_s} (d\sigma_i - 2vd\sigma_3) - \frac{2}{1+\cos 2\alpha} \left(\frac{d\varepsilon(r)}{dr} \right)_{r_3} dr \quad (12)$$

M は粒子間摩擦係数であり、 C は粘着力（時間効果を考えると $C = n \frac{d\varepsilon_1 - d\varepsilon_3}{dt}$ とおく、また定数とするときは $C = C' \sigma_3$ とおく）である。 (11) 式を (1) 式に代入して $\left(\frac{d\varepsilon(r)}{dr} \right)$ について解き、それを (8) 式に代入すると、次式を得る。

$$\begin{aligned} E d\varepsilon_1 &= d\sigma_1 - 2vd\sigma_3 \\ &+ \frac{(1+v)}{\left(1 + \frac{E}{E_s}\right)} \left\{ \frac{M}{2} (\sigma_1 + \sigma_3) + C \right\} (d\sigma_1 - d\sigma_3) - \left(1 - \frac{E}{E_s}\right) \left[(\sigma_1 - 2v\sigma_3) d\sigma_1 + \{ \sigma_3 - v(\sigma_1 + \sigma_3) \} 2d\sigma_3 \right] \\ &\quad \left(1 + \frac{E}{E_s}\right) \sigma_1 - \frac{M}{2} (\sigma_1 + \sigma_3) - C \\ &= d\sigma_1 - 2vd\sigma_3 + D \end{aligned} \quad (13)$$

(7) 式と (13) 式は土の応力～ひずみ式となるが、実際に計算をおこなうには、 E および E_s （回復時の弾性係数）を知る必要がある。 E_s は、せん断試験中にあまり変化しないから、多分圧密曲線の膨潤指數 C_s と関係づけられるであろう。一方、 E は、土が正規圧密粘土の場合は、つぎのように圧縮指数を用いて求められる。すなわち、 $n = \sigma_1 / \sigma_3$ とすると、 n が一定の $e \sim \log \sigma_3$ 曲線はすべて平行となるのでその傾きを C'_c であらわすと

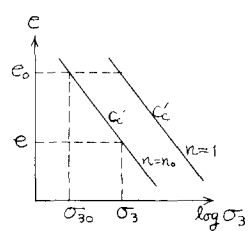
$$e_0 - e = C'_c \{ \log \sigma_3 - \log \sigma_{30} \}$$

ただし $\sigma_{30} = g(n)$ である。

$$\therefore \frac{de}{d\sigma_3} = -C'_c \frac{0.434}{\sigma_3} + \frac{dg(n)}{dn} \frac{dn}{d\sigma_3}$$

$$n = \text{const} \text{ とすれば右辺第2項は } 0 \text{ となり。} \frac{de}{d\sigma_3} = C'_c \frac{0.434}{\sigma_3} \cdot \frac{1}{1+e} \quad (14)$$

$$\text{また (7) (13) 式より } E dv = E(d\varepsilon_1 + 2d\varepsilon_3) = E(1-2v)(d\sigma_1 + 2d\sigma_3) + D \quad (15)$$



両式から $d\nu$ を消去し、さらに $\sigma_1/\sigma_3 = n$ 、 $E/E_s = k_e$ とおくと

$$\frac{0.434 C'_c E_s}{(1+\nu) \sigma_3} = (1-\nu)(n+2) + \frac{(1+\nu) \left\{ \frac{\mu}{2}(n+1) + \kappa' \right\} (n-1) - (1-k_e) \{ n(n-2\nu) - 2\nu(n+1) + 2 \}}{(1+k_e)n - \frac{\mu}{2}(n+1) - \kappa'}$$

k_e について解くと

$$k_e = \frac{(1+\nu) \sigma_3}{0.434 C'_c E_s} \cdot \left\{ (1-\nu)n + (1-4\nu) + \frac{1-\nu}{n} \right\} + \frac{1}{2} \left\{ \left(\frac{\mu}{2} - 1 \right) n + \frac{\mu}{2} + \kappa' \right\}$$

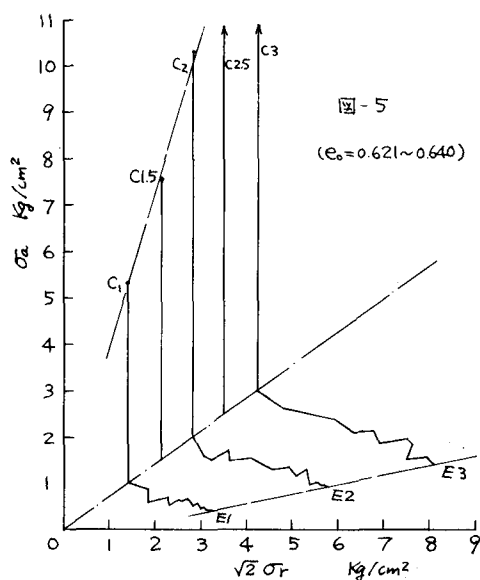
$$\pm \sqrt{\left[\frac{(1+\nu) \sigma_3}{0.434 C'_c E_s} \right]^2 \left\{ (1-\nu)n + (1-4\nu) + \frac{1-\nu}{n} \right\}^2 + \frac{1}{4} \left\{ \left(\frac{\mu}{2} - 1 \right) n + \frac{\mu}{2} + \kappa' \right\}^2}$$

$$- \frac{(1+\nu) \sigma_3}{0.434 C'_c E_s} \left\{ (1-\nu)\left(1 - \frac{\mu}{2}\right)n^2 + (1-2\nu)n - (1-\nu)(\kappa' + \mu)n + (1-\nu)\left(\frac{\mu}{2} - \kappa'\right) - (1+\nu) \right.$$

$$\left. + \frac{2(1-\nu)(\mu/2 + \kappa' + 1)}{n} \right\}^{\frac{1}{2}} \quad (16)$$

(16)式中の E_s は σ_3 の関数であると思われるがその形は考慮していない。

計算例 $\nu = 0.36$, $(1+\nu)\sigma_3/E_s = C_s = 0.12$ (これらは I で述べた試料の値), また $\mu = 0.5$, $\kappa' = 0.1$ と仮定して (16) 式の k_e を求めると右図のようである。図示されていなかった以外の部分については、解は複雰数となつた。



参考文献

- 1) 軽部・玉井 置方圧密中のタイレイターンシーについて オフショア工学研究発表会講演集 D-5 §47年
- 2) たとえば Roscoe 他 Yielding of Clays in State Wetter than Critical. Geotech. 1963
- 3) 中村博信 神戸大学工学部卒業研究 (未発表)